



1/23

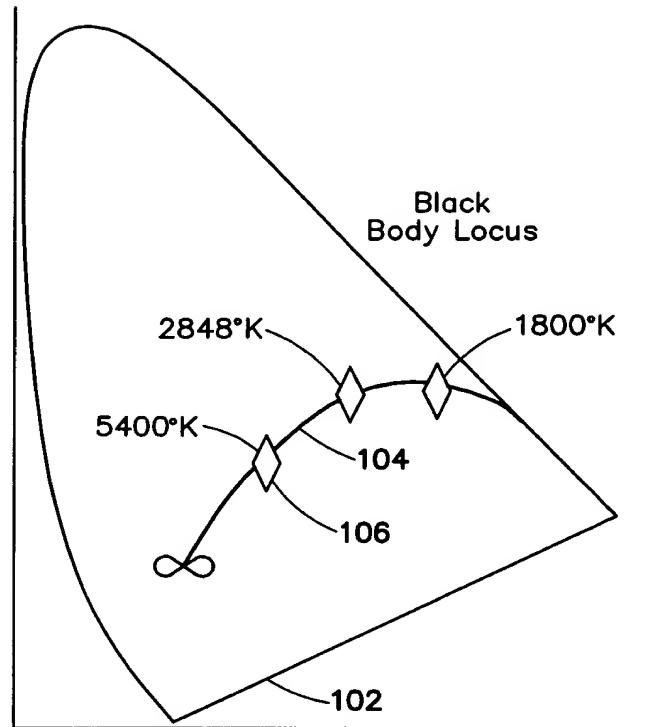


Fig. 1
(Prior Art)

2/23

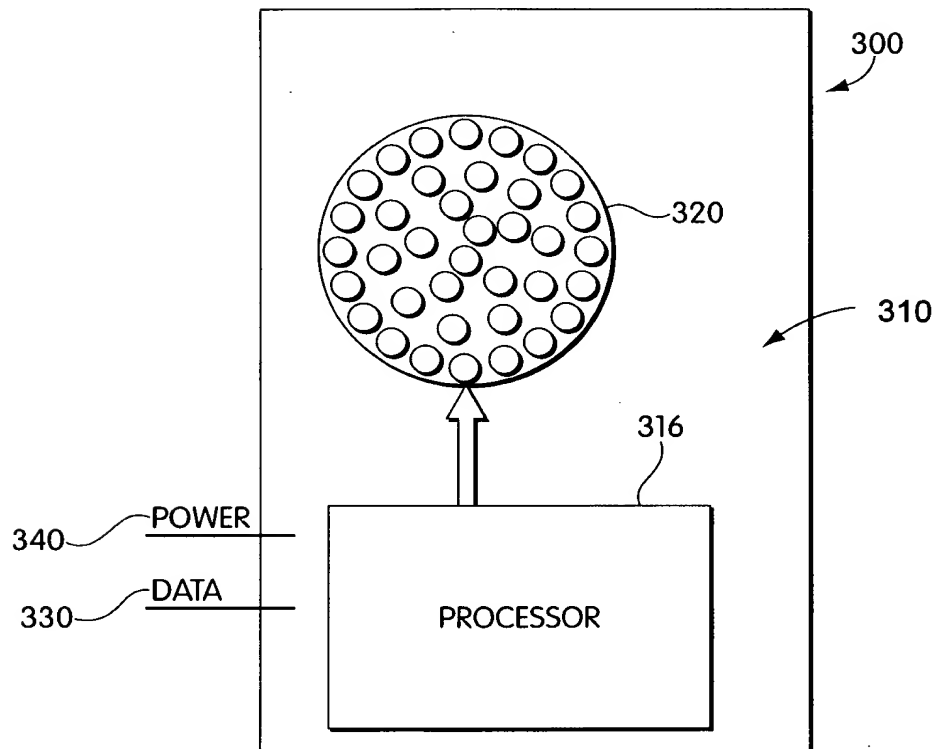


Fig. 2

3/23

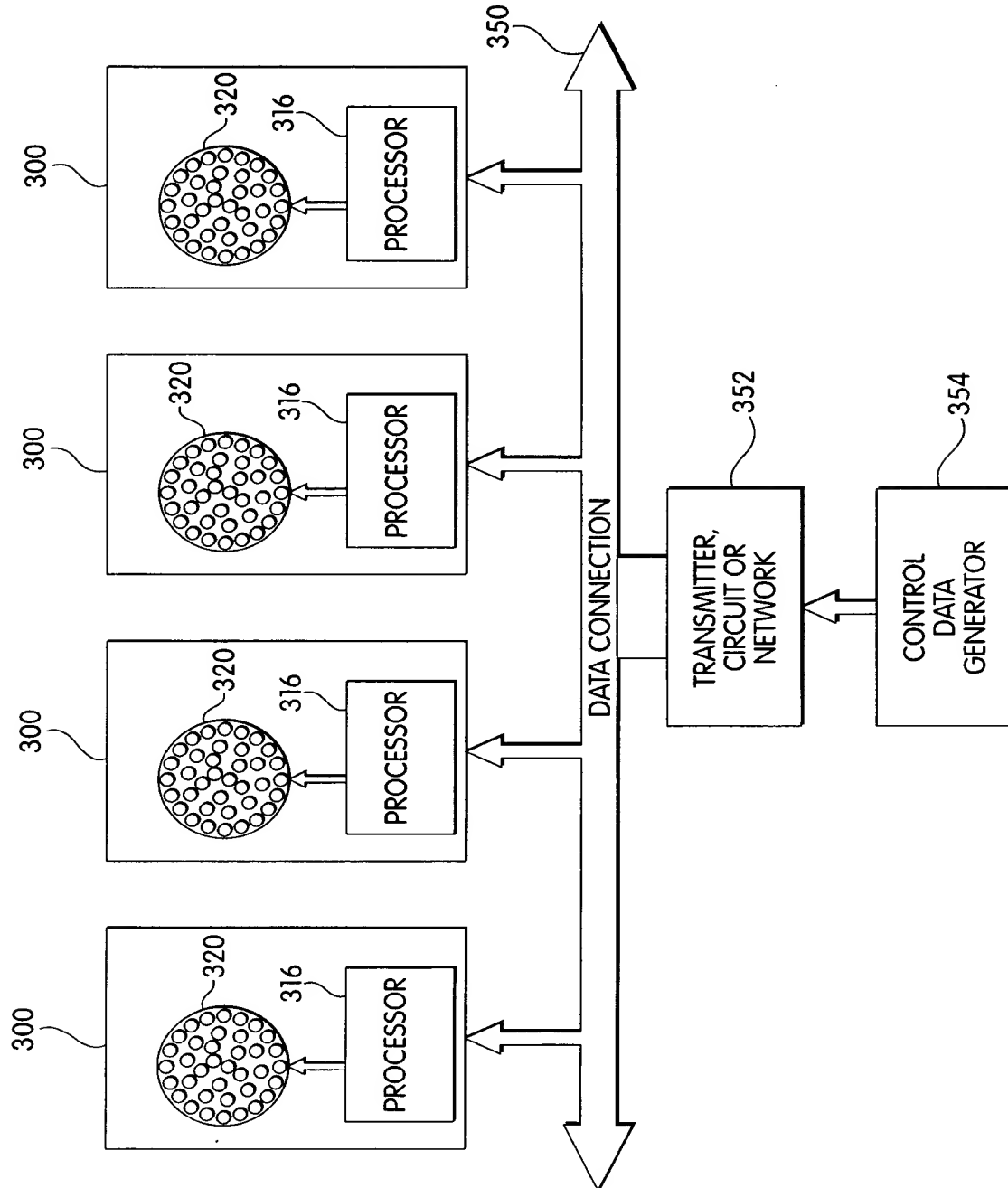


Fig. 3



5/23

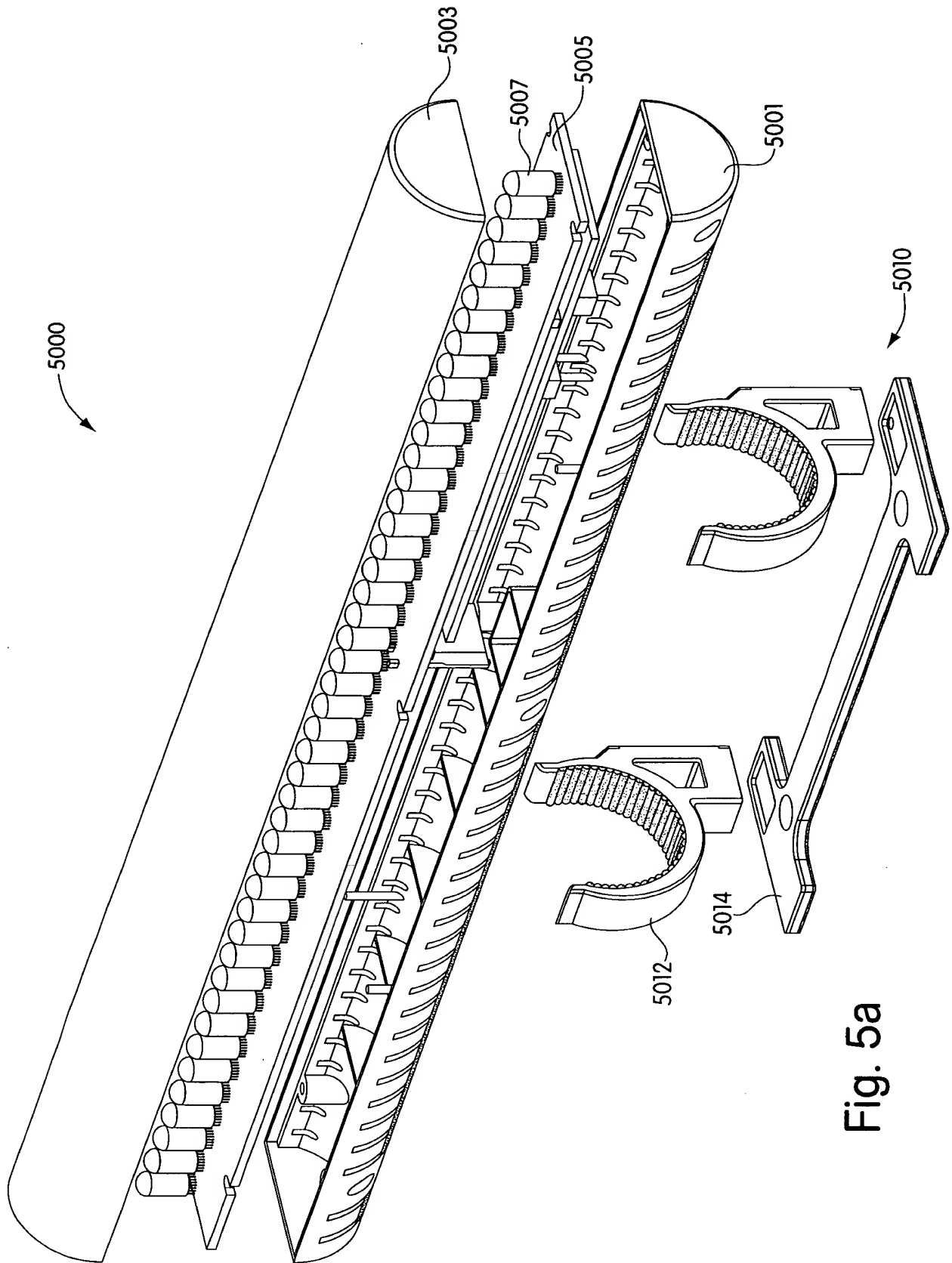


Fig. 5a

6/23

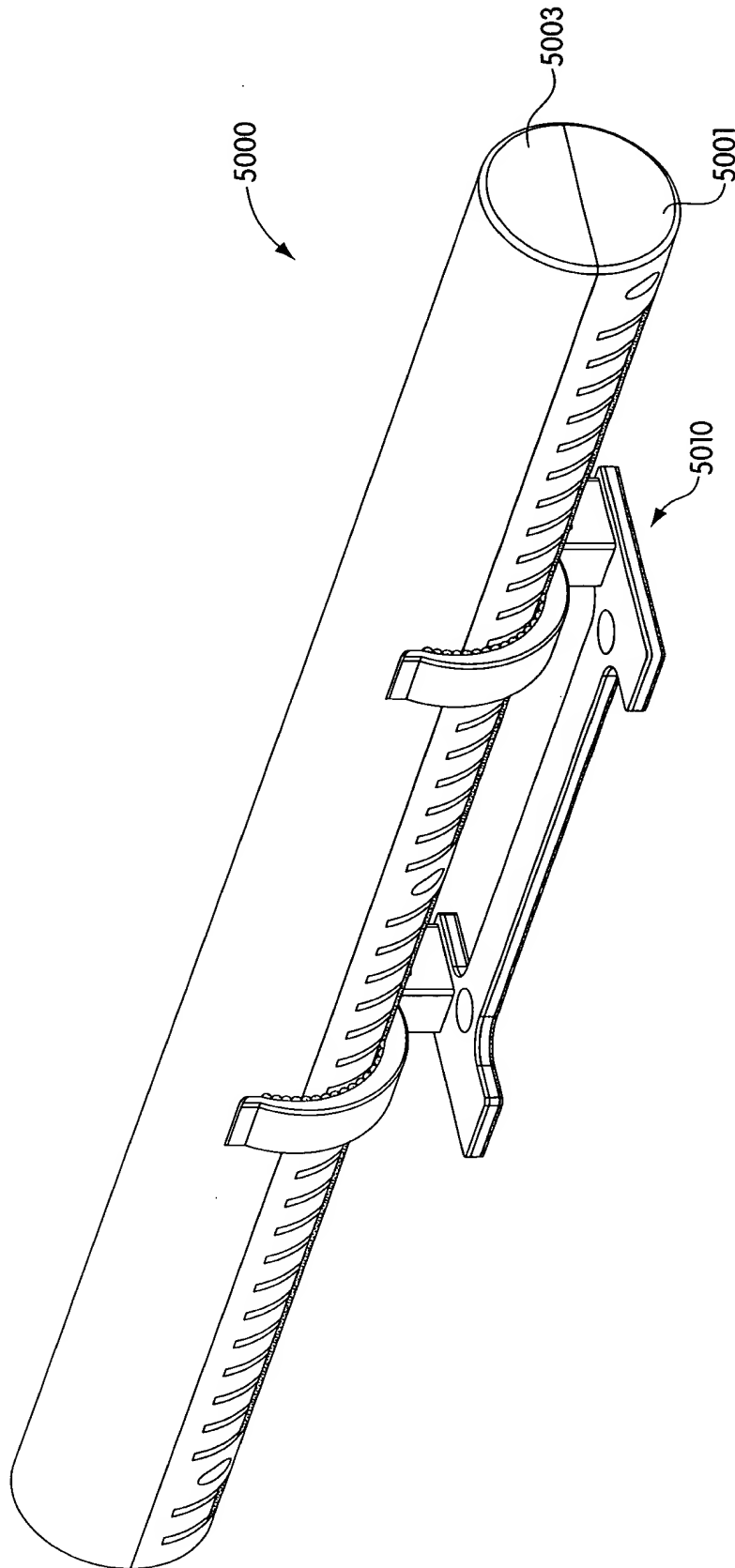


Fig. 5b

7/23

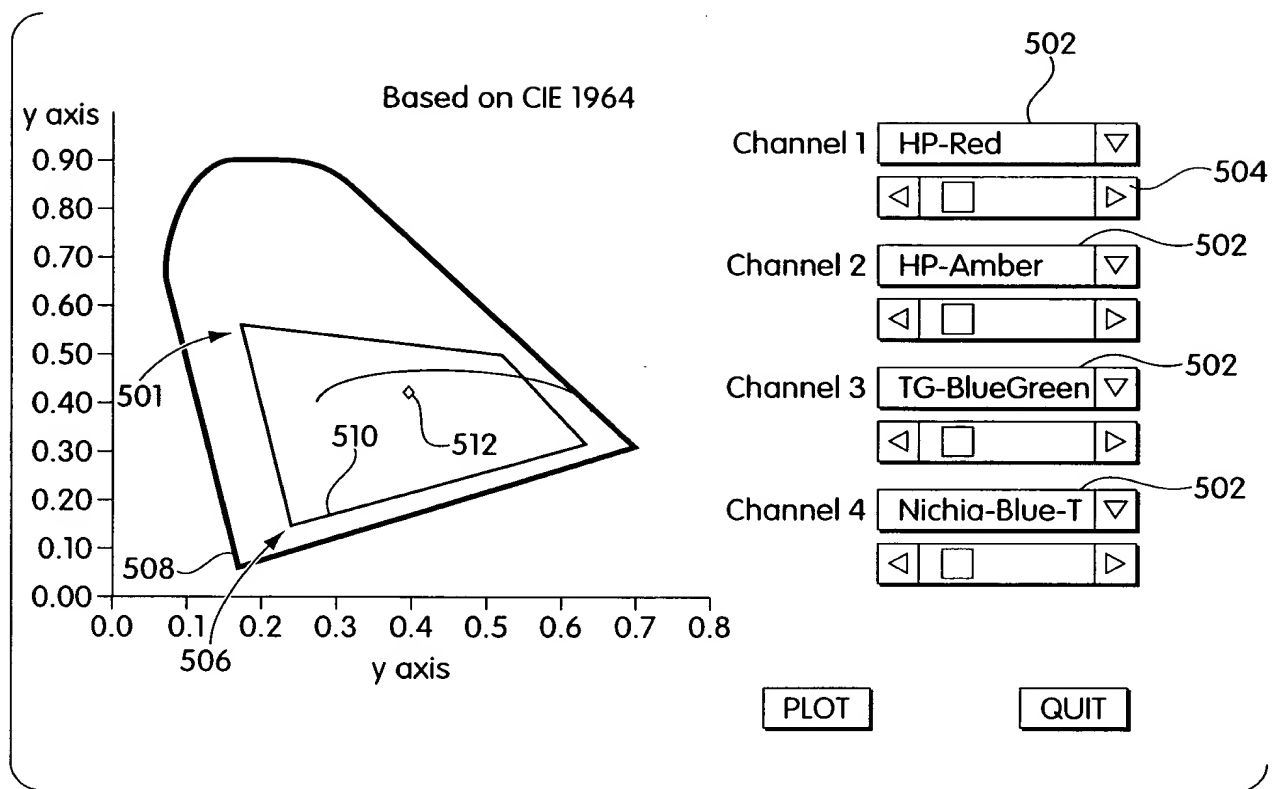


Fig. 6

8/23

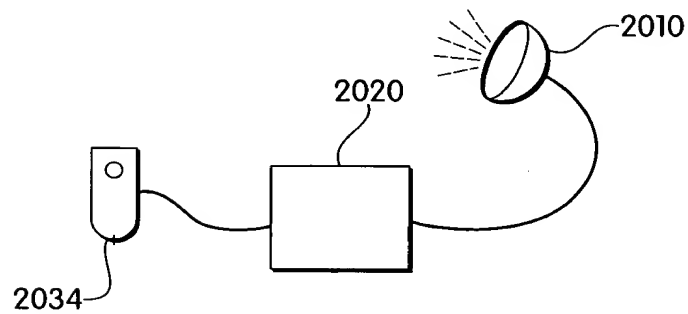


Fig. 7

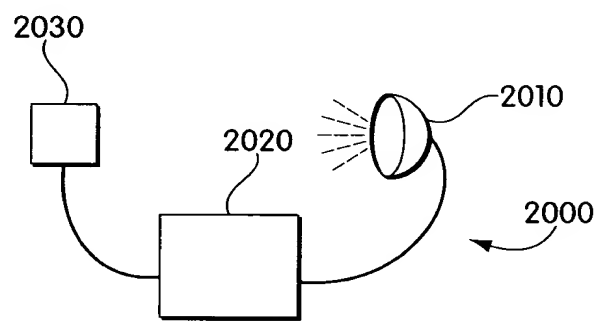


Fig. 8a

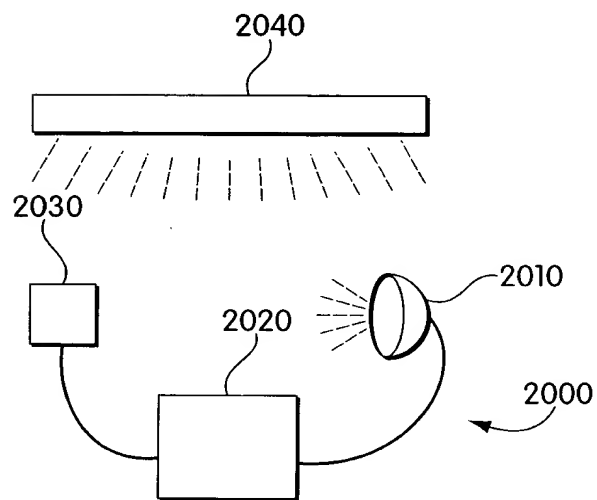


Fig. 8b

9/23

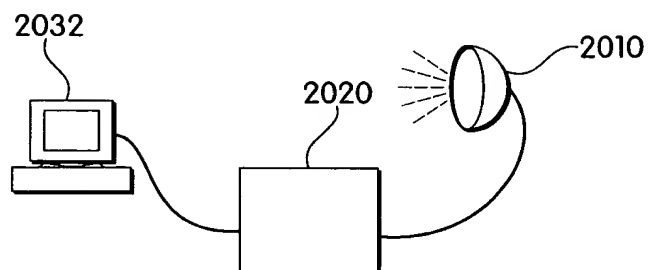


Fig. 9

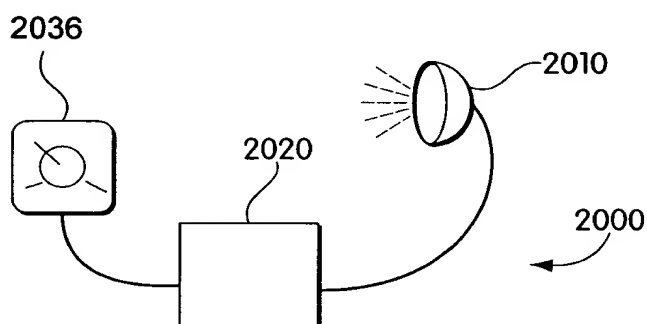


Fig. 10a

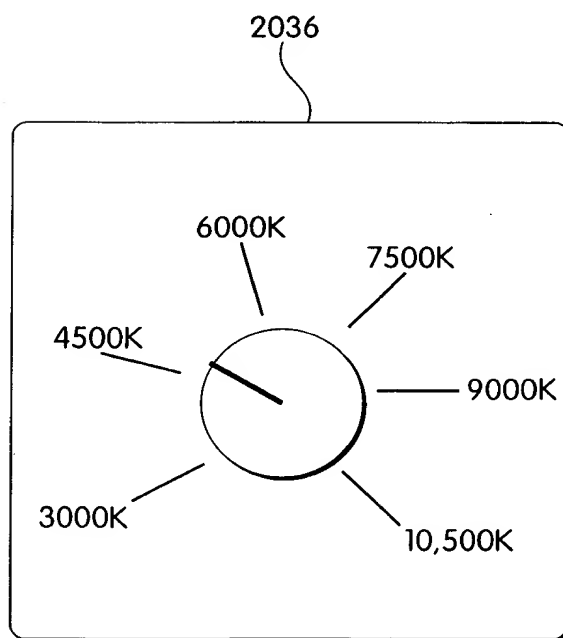
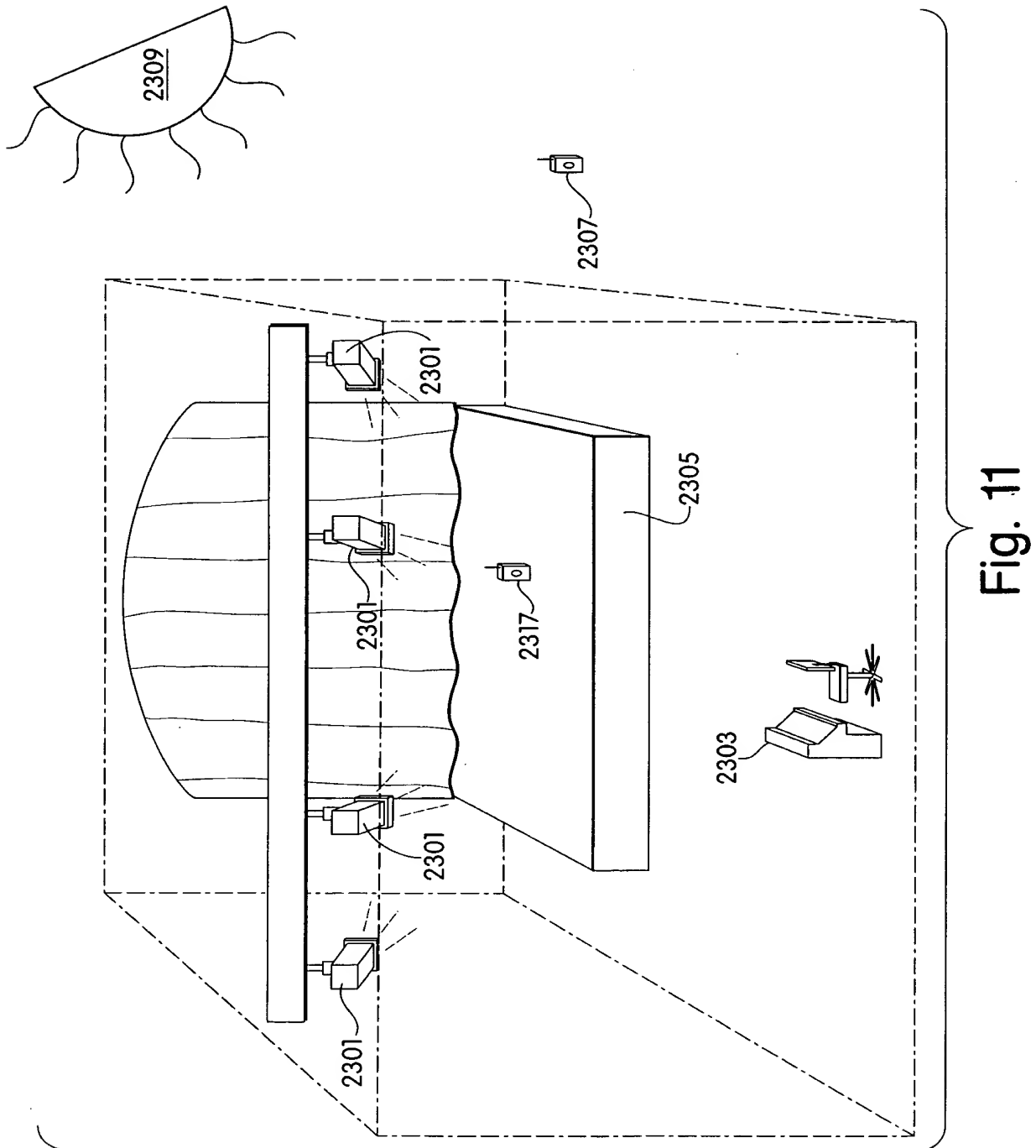


Fig. 10b

10/23



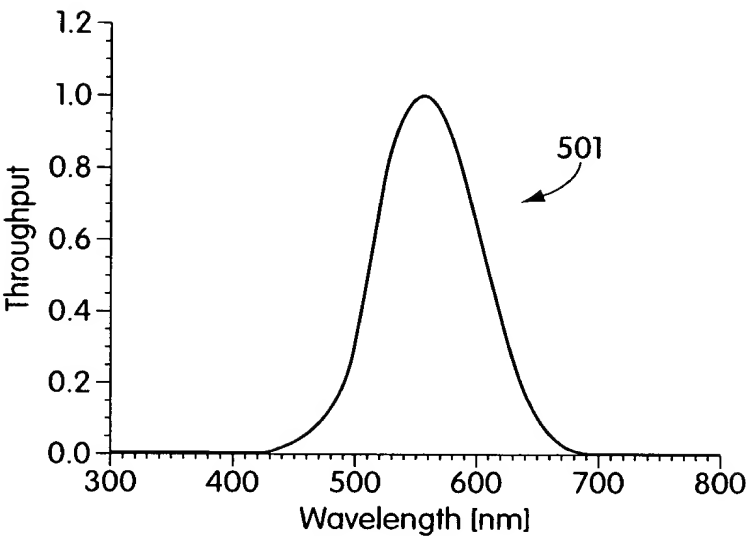


Fig. 12

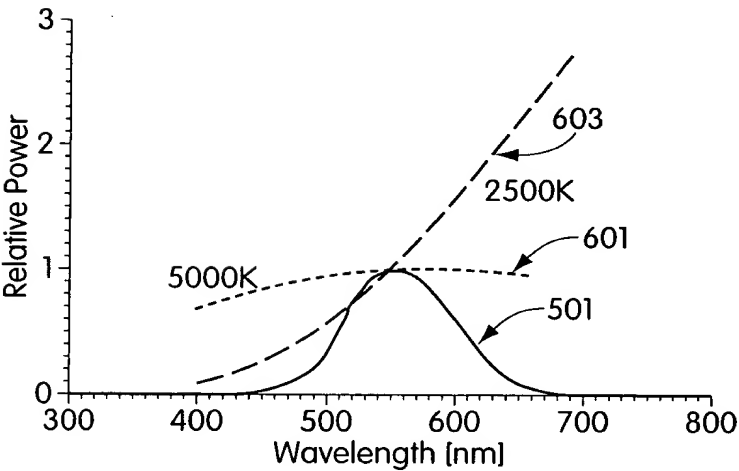


Fig. 13

12/23

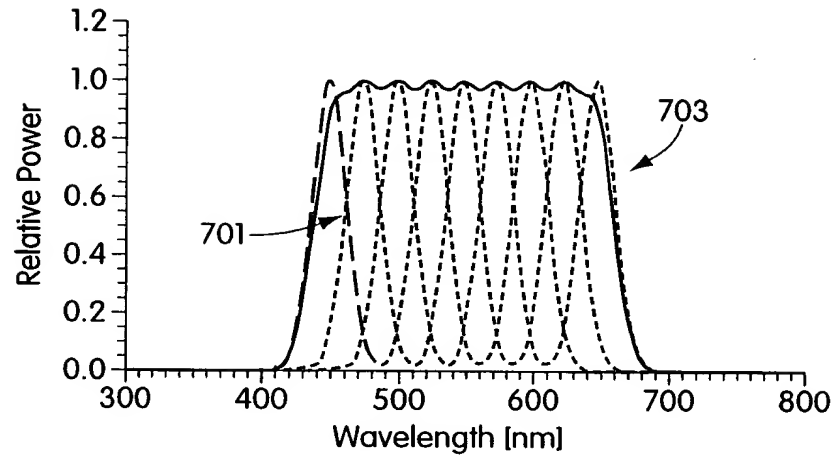


Fig. 14

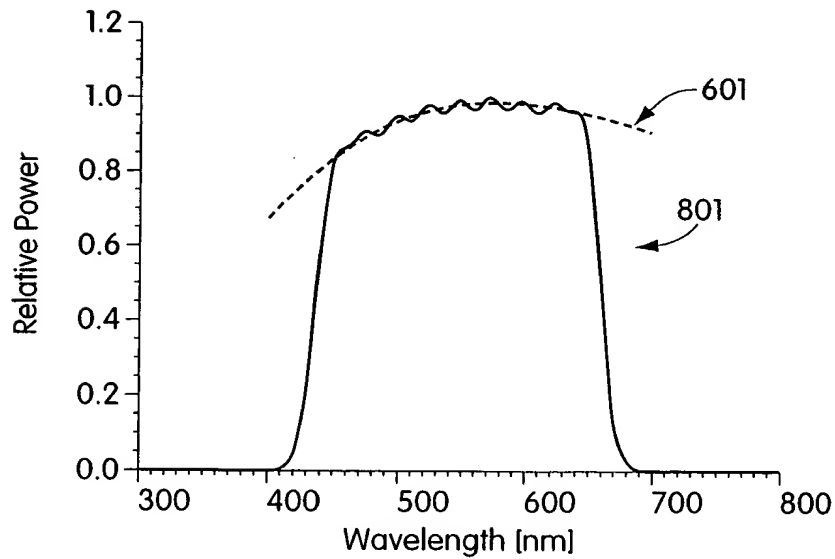


Fig. 15a

13/23

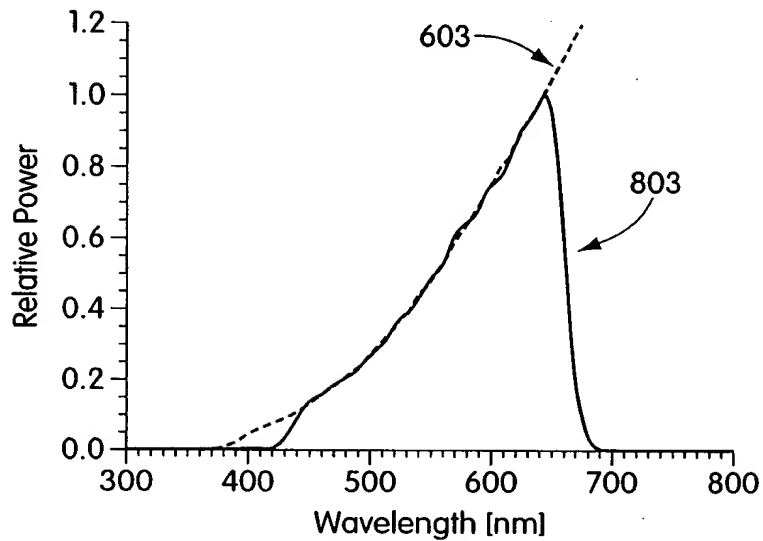


Fig. 15b

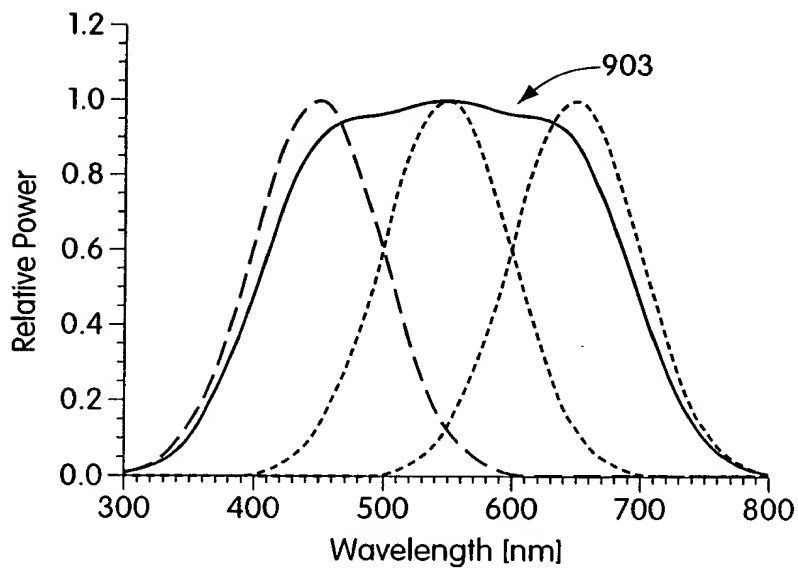


Fig. 16

14/23

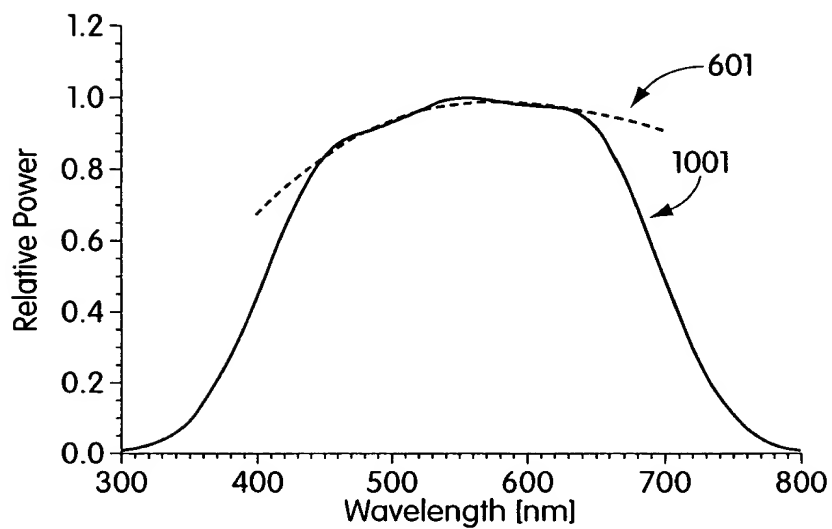


Fig. 17a

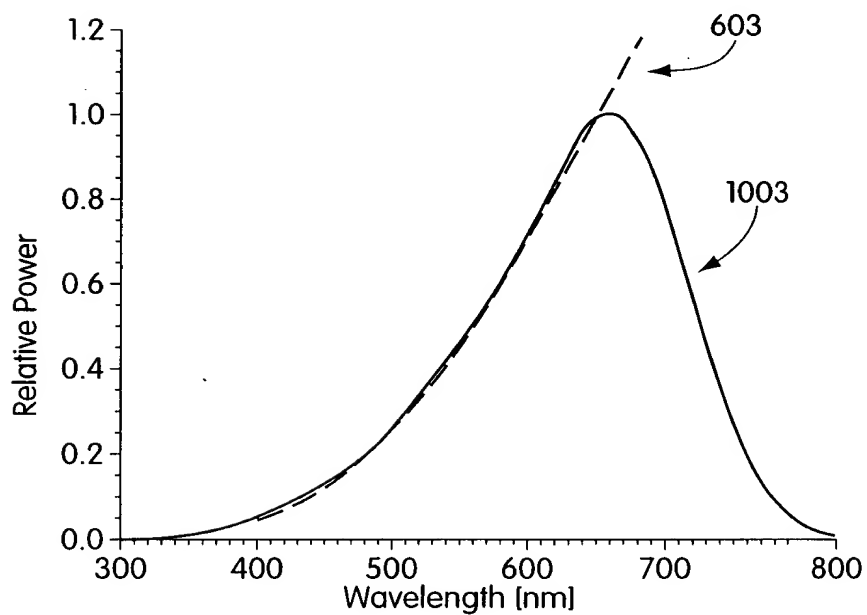


Fig. 17b

15/23

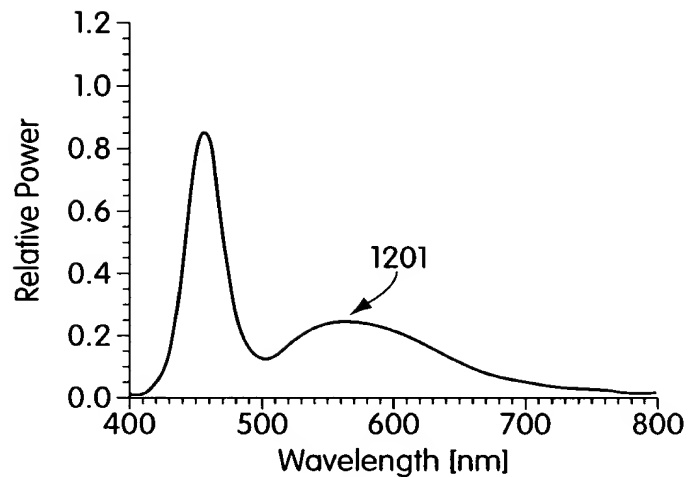


Fig. 18

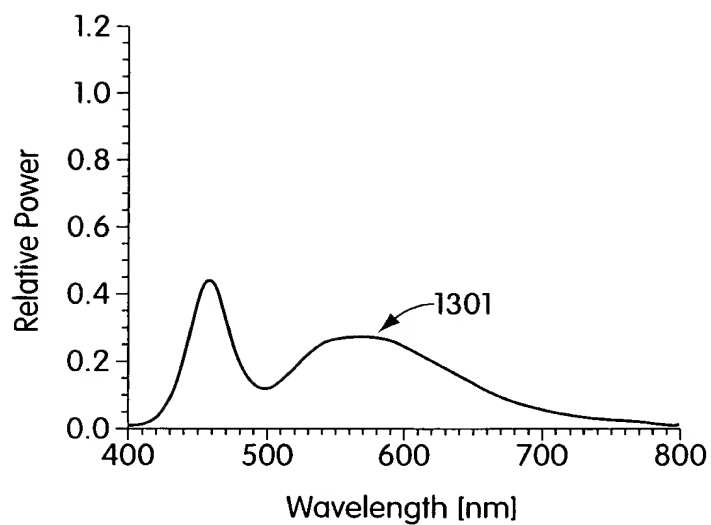


Fig. 19

16/23

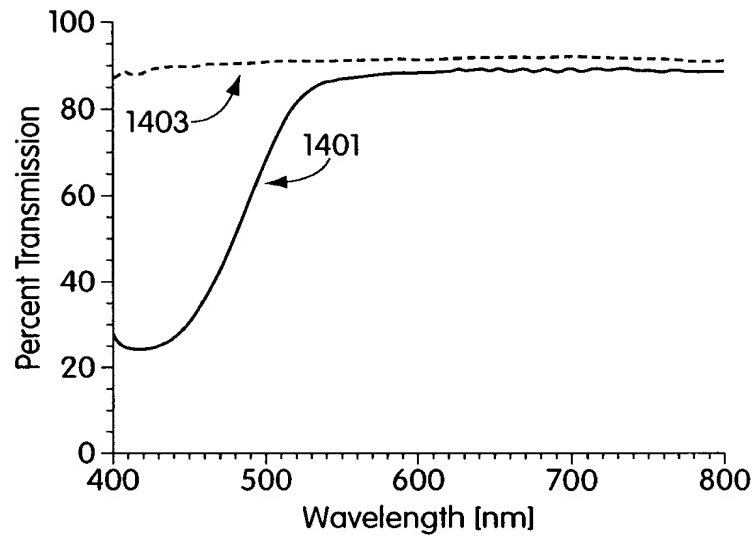


Fig. 20

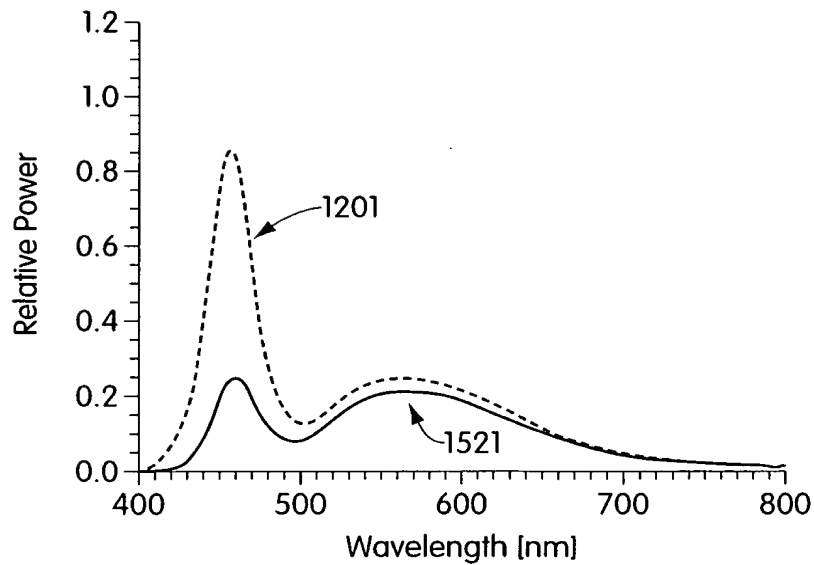


Fig. 21a

17/23

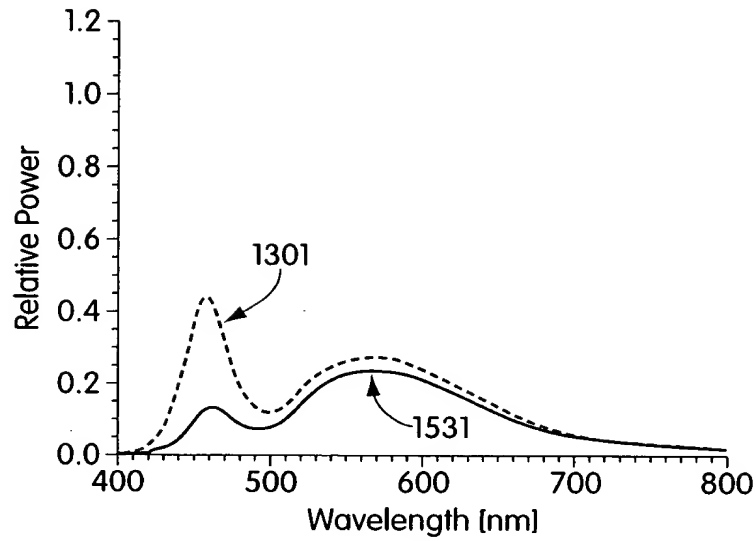


Fig. 21b

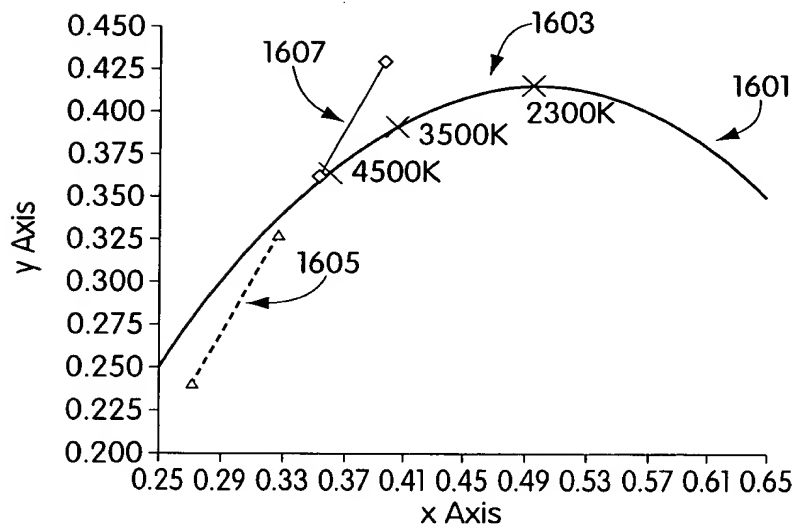


Fig. 22

18/23

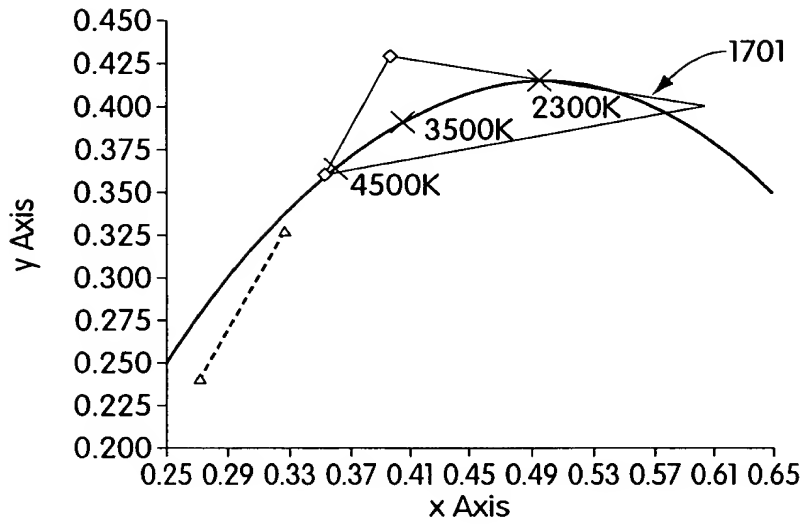


Fig. 23

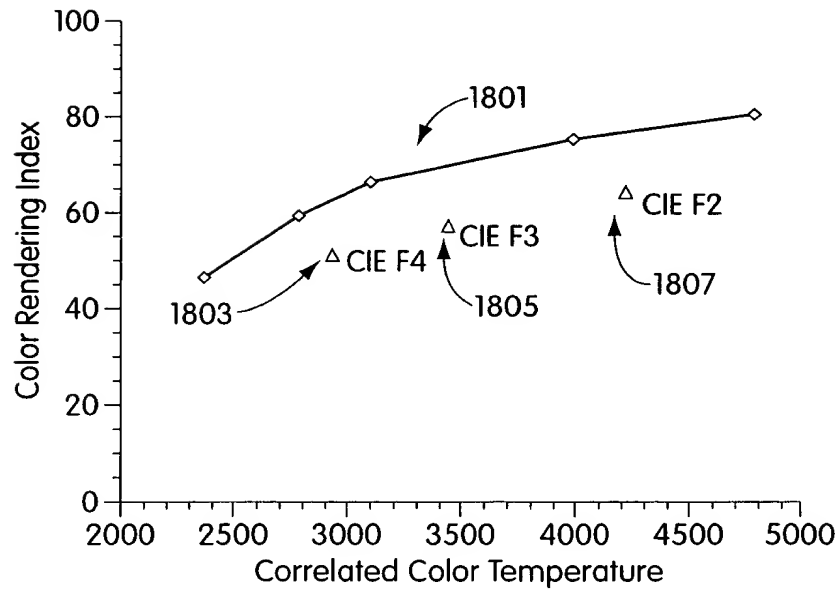


Fig. 24

19/23

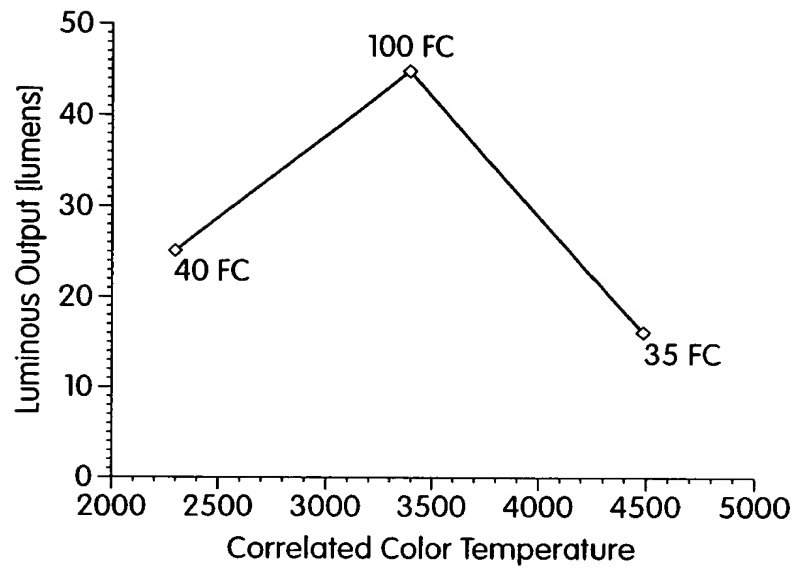


Fig. 25

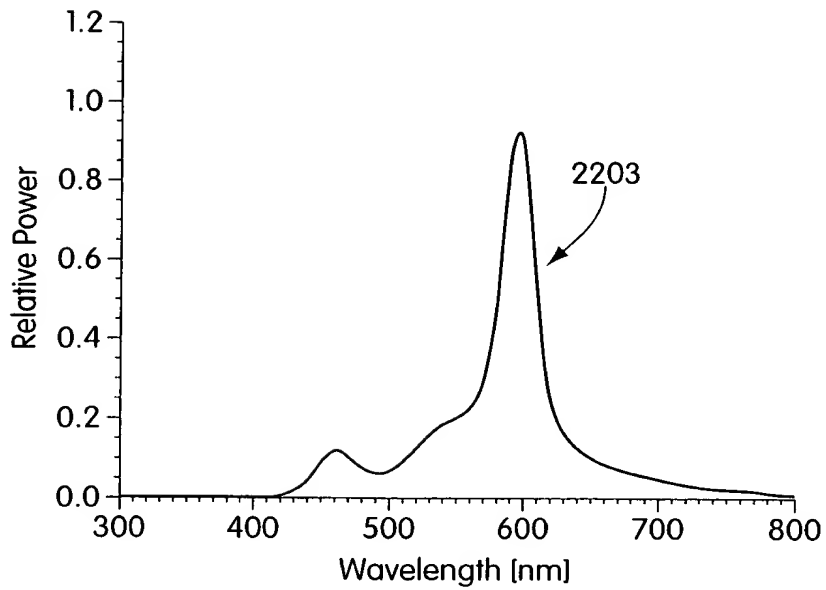


Fig. 26a

20/23

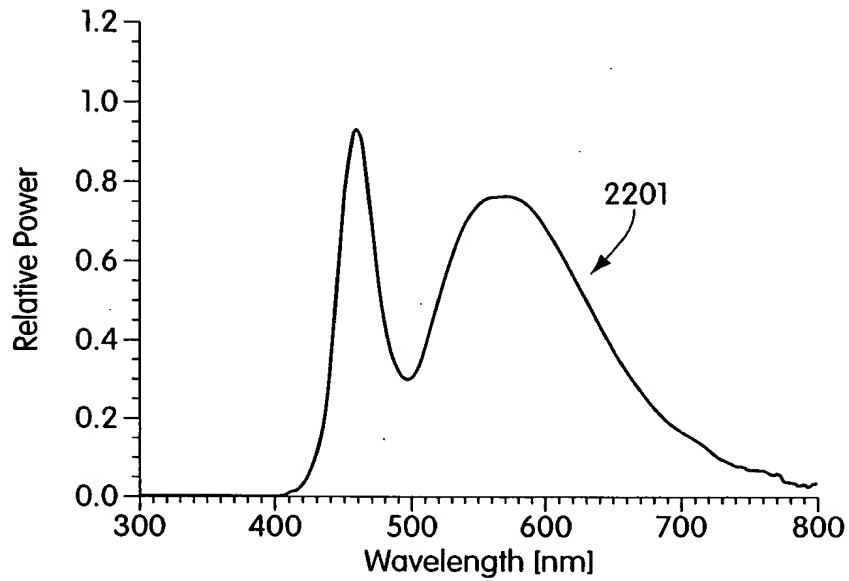


Fig. 26b

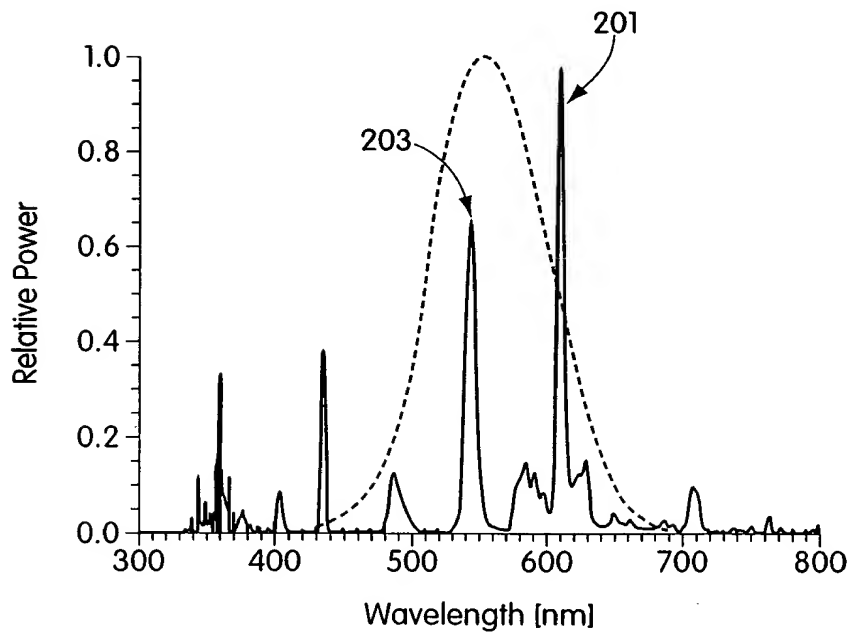


Fig. 27
(Prior Art)

21/23

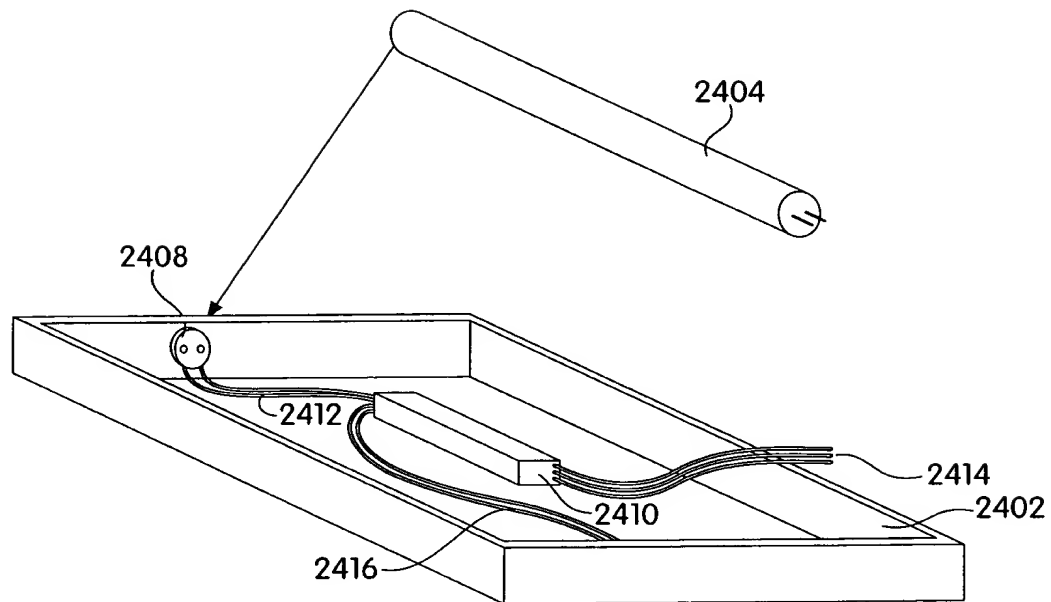
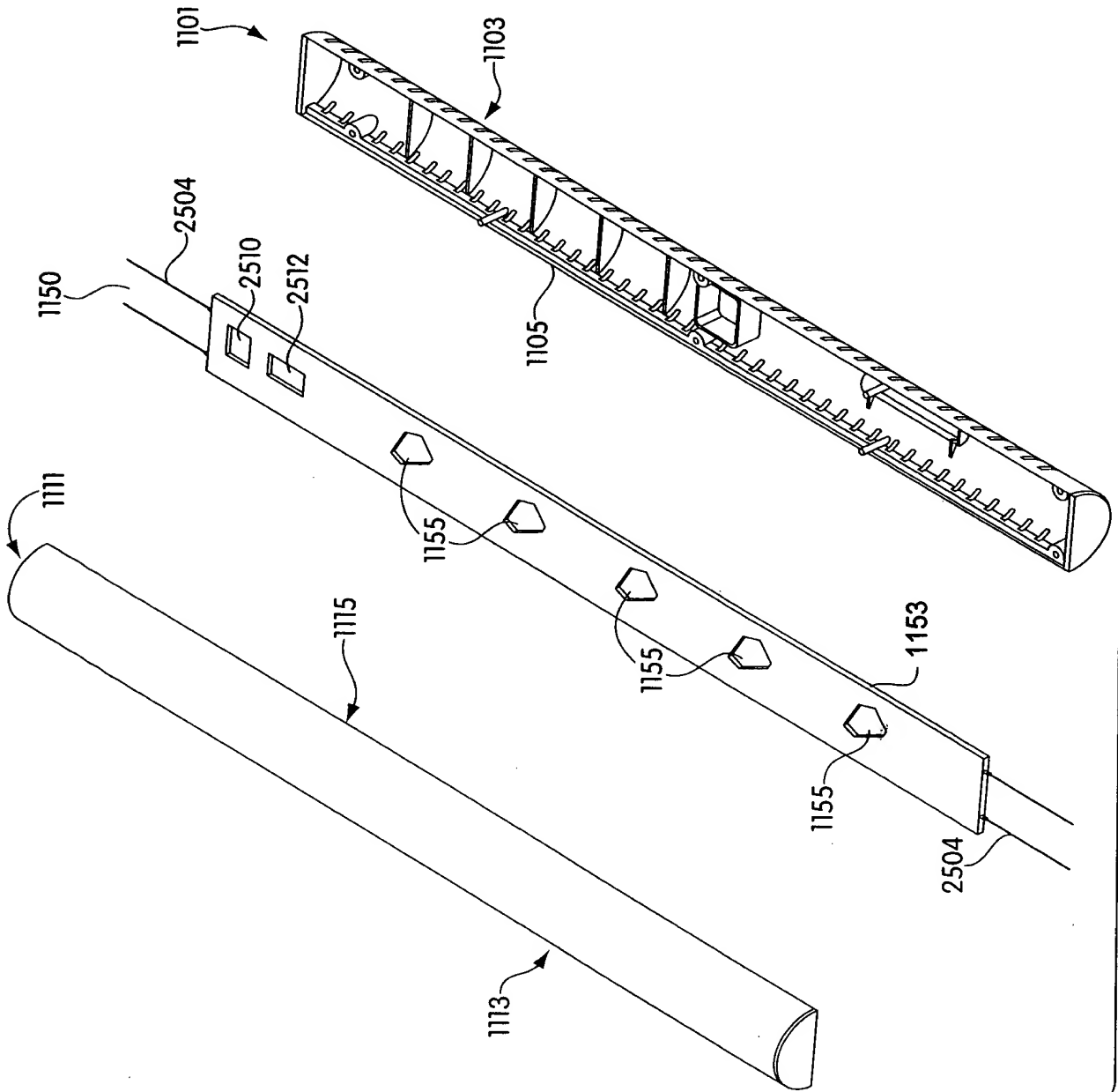


Fig. 28
(Prior Art)

Fig. 29



23/23

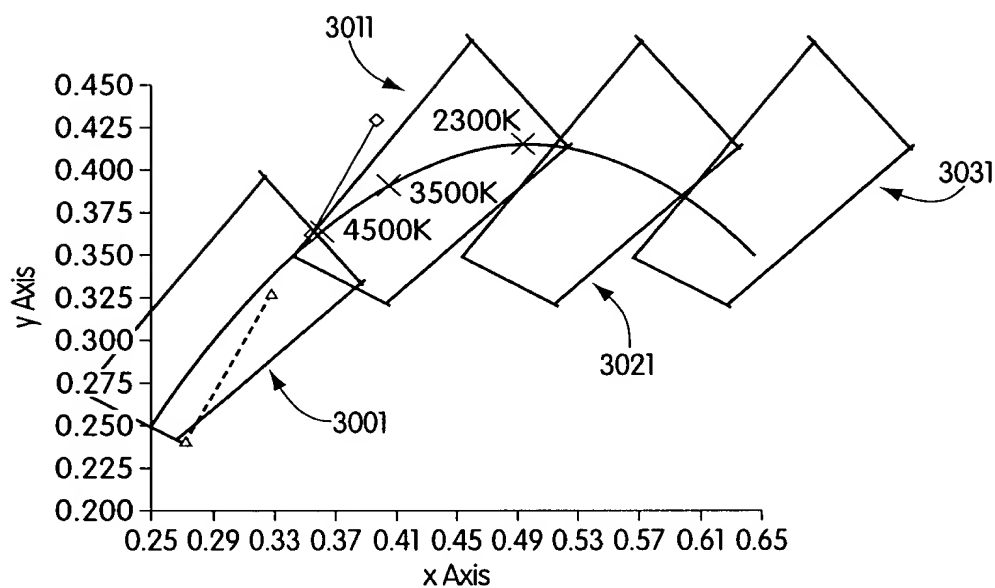


Fig. 30